

## Saudi Arabia 北西部의 地下水調査

Groundwater Investigation in Northwestern Part of Saudi Arabia

韓 槟 相  
Han, Jeong Sang  
鄭 秀 雄  
Jeong, Soo Woong

### ABSTRACT

Hydrogeological survey and geophysical prospecting have been carried out in Saudi Arabia for the purpose of finding groundwater in the soil and rock at the request of General trading company in Jeddah, Saudi Arabia.

The surveyed area is located on 38°-39° 30' in longitude and 26°-26° 30' in latitude.

The topography of this area is dominated by northwest southeast mountain range composed mostly of pre-cambrian rocks and basalt of tertiary period.

Geology is mainly composed of greenstone, granite, andesite, diorite rhyolite of pre-cambrian era and sandstone of cambrian period which are underlain by basalt and andesite of tertiary period and alluvium of quaternary unconformably.

The instruments used in this investigation are TR-18B2 radioactivity unit which isjapanese patented and A.C. Terrameter, a resistivity meter manufactured by ABEM of Stockholm, Sweden.

Radioactivity method has been conducted along the Alula-Khaybar road, totally 164Km by the car-borne. As a result of the above survey 16 places have been selected and these anomalies show 1.2N-1.6N compared to background of each area in intensity with width of 10-50m.

Resistivity vertical profiling which made use of Schlumberger configuration method has been made over selected areas by radioactivity method to provide hydrogeological information for a water resources survey. The result of resistivity shows that good aquifers are located in the western part of surveyed area where sedimentary rock is distributed.

The strata showing 10-50,  $\Omega \cdot m$  in resistivity are thought to be waterbearing layer. The variations in aquifer resistivity found, are thought to be due to varying clay content, which could be related to aquifer yield. It has proved impossible to detect small salinity variation in the buried aquifer by geophysics.

As a result of resistivity prospecting 10 places are recommended to be drilled at the anomalies as shown attached map. yields from the proposed holes have been estimated approximately from  $20m^3$  to  $200m^3$  per day. Prior to drilling for groundwater, test boring using  $\phi 4"$  should be drilled in order to obtain more reliable hydrogeological information for the construction of perfect wells.

#### 1. 序言(Introduction)

本 調査는 現在 SAUDI ARABIA의 西北部에 位置

正會員技衛土(地下水) 中央開發(株) 開發部長  
中央開發(式) 地質課長

하여 있는 ALULA-KHAYBAR간의 道路工業 施行 予  
간으로서 1975年 7月 12日부터 同年 9月 25日까지 上  
記 道路區間內에 分布되어 있는 各種岩石의 水理地質  
調查外 自然放射能 및 電氣比抵抗法에 依한 地下水調查  
를 實施하였으며 그 調查結果를 綜合整理, 分析檢討한

것이다.

SAUDI ARABIA 全域에 걸쳐 1956년에 航空地圖에 依한 地質圖가 作成 되었으며 特히 本 調查地域은 1963년에 美內務省 地質調查所와 ARAMCO (ARABIAN AMERICAN OIL COMPANY) 地質技術者인 R.G. BOGUE, R.O. JACKSON 그리고 G.F. BROWN에 依해 實施된 野外 地質調查結果를 G.F. BROWN이 綜合整理하여 圖葉番號 NW-HIJAZ 1-204A와 G.F. BROWN, G.H. GOUDAREI, W.H. MACLEAN에 依해 實施된 野外 地質調查結果를 G.F. BROWN이 綜合整理하여 圖葉番號 NE-HIJAZ 1-205A로 地質圖가 發刊되었다. 그러나 本地質圖는 그 縮尺이 1:500,000인 關係로 資料의 不正確으로 因하여 細部 地質調查와 水理地質調查는 今般 새로이 再實施하였다.

今般 地下水探查에 使用한 機器는 國內唯一한 自然放射能 探查器 TR-18B2와 電氣比抵抗探查器는 SWEDEN의 ABEM會社에 依해서 製作된 Terrameter이다.

## 2. 位置(Location)

사우디아라비아의 東側은 페르사만, 西側은 紅海, 南側은 아라비아 海 그리고 北側은 JORDAN國에 依해서 둘러쌓여 있으며 調查地域은 西側의 紅海岸에 接해 있는 JEDDAH市에서 北北西 方向으로 開設되어 있는 TABUK行 既存道路를 따라 約 650km가면 現場에 이르며 이곳에서 西西北側에 位置하여 있는 AL ULA까지 總延長 164km에 達하는 區間이다. 本 區間은 經緯度上으로는 北緯 26°~26°30' 東經 38°~39°30'의範圍에 屬하며 美國 地質調查所에서 發刊된 HIJAZ 地質圖幅中 圖葉番號 1-204A의 東部와 1-205A의 西部에 該當된다. (Fig. 1 참조)

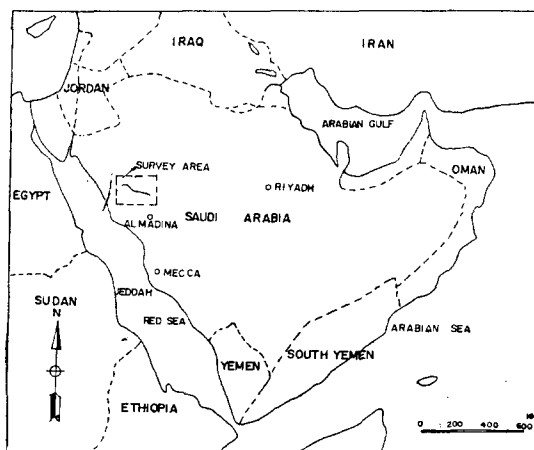


Fig. 1 Location map for Saudi Arabia

## 3. 地形(Physiography)

本 調查地域은 N30°W 方向으로 發達되어 있는 玄武岩의 影響을 받은 HARRAT AL UWAGKID 山脈을 主脈으로 하여 여타 方向으로 發達되어 있는 枝脈으로 構成되어 있고 ALULA 地域 北西部에 位置하여 있는 HARRAT는 平均高度 海拔 1200m 程度로서 最高峰은 1454m에 이르며, 計劃道路區間內에서 最低地帶를 形成하고 있는 곳은 44.7km 附近으로서 高度는 574m 程度이다.

KHAYBAR-TABUK의 既存道路에서 計劃道路區間入口의 標高는 770m 程度이며 區間內에서의 最高地帶는 126+250 附近으로서 1023m 程度이고 始發地點附近(AL ULA)의 標高는 600m餘에 이르는 起伏이 심한 地域이다.

本 地域의 地形은 主로 先Cambrian(Pre-Cambrian)의 岩石으로 構成되어 있으며 이들은 動力變成作用(Dynamic metamorphism)을 받아 地質構造帶가 많이 發達되어 있다. 堆積岩의 主節理方向은 N45E로 發達되어 있으며 間歇河川(Intermittent Stream)이 地質構造帶인 節理 및 斷層方向을 따라 形成되어 있다.

第四紀 玄武岩이 被覆되어 있는 地域을 除外하고는 溪谷이 U字形을 이루고 河幅이 좁은 長年期初의 地形을 이루고 있으나 玄武岩으로 被覆된 地域은 廣闊한 大지를 이루며 幼年期 地形을 나타내는 復雜한 地勢를 보여주고 있다.

特히 本 調査地域附近의 年降雨量은 100mm 程度(1971年)로서 河川은 間歇河川(Intermittent stream)을 이루고 있고 河幅이 3~4km에 이르는 곳이 여타곳에 發達되어 있다.

## 4. 地質(Geology)

本 調査地域에 發達分布되어 있는 岩石은 先Cambrian(Pre-Cambrian)에 屬하는 Green stone, 花崗岩, Halaban 安山岩類 閃綠岩, Shammar 流紋岩과 Shammard 流紋岩을 捕獲及至 被覆하고 있는 J.D層과 古生代 Cambrian에 屬하는 Sig 砂岩이 上記岩石들을 不整合으로 被覆하고 있으며 Sig 砂岩 上部는 第三紀의 玄武岩 및 安山岩과 第四紀의 Wadi 形 冲積層이 不整合으로 被覆되어 있으며 古生代末에서 新生代初 사이는 大欠層을 보여주고 있다.

이들 各種岩石들의 層序와 地質時代는 美國 카네기 연구소의 L.T. Aldrich에 의해서 루비디움—스트론티

음법과 포타시움—아콘법으로 测定되었음을 附言해 두는 바이며 上記岩石들을 細分하여 說明하면 다음과 같다.

#### 1) Green stone

本岩은 本調查地域中 最古期의 岩石으로서 先캄브리아紀 下部에 該當되며 變質度가 매우 심한 片岩, 碳岩, 安山岩 및 輝綠岩으로 構成되어 있다.

岩色은 赤黃내지 黑色이며 岩相은 細粒유리질 또는 斑狀構造를 보이기도 하며 끝에 따라서는 板狀 및 局部的인 pillow 構造를 나타내나 대개 모호한 構造를 보여주고 있다.

이들 岩石中 碳岩은 끝에 따라 以前에 生成된 流紋岩이나 板岩의 碳을 捕獲하고 있다.

#### 2) 花崗岩(Granite)

調査地域中 特히 100~120km 區間에 널리 分布되어 있는 岩石으로 先캄브리아 紀에 屬하며 岩色은 主로 赤色 및 淡紅色을 띠우며 Disconcordant의 大規模型으로

貫入岩의 樣狀을 나타내며 一般的으로 塊狀이나 貫入接觸面에서는 正長石와 微斜長石의 斑狀構造를 보여주기도 한다.

塊狀이 代表의 이므로 그 帶水性은 極히 不良이다.

#### 3) Halaban 安山岩類(Andesite)

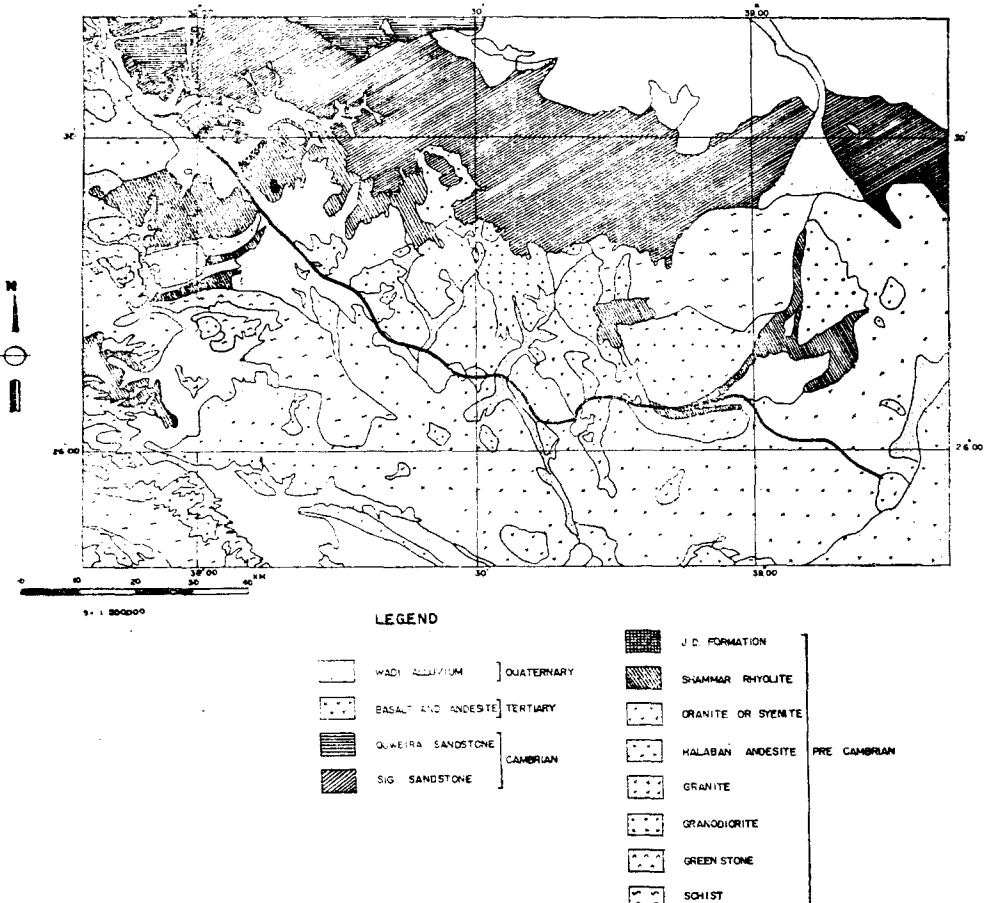
調査區域中 60~100km區間의 거의 本岩으로 構成되어 있고 岩色은 主로 黑色과 淡紅色을 띠우고 있다. 構成岩石은 細粒質로多少 變質을 받은 安山岩과 流紋岩 및 凝灰岩으로 構成되어 있으며 간혹 下部層內에서 赤色의 凝灰質板岩이 分布되어 있기도 한다.

#### 4) Shammar 流紋岩類(Rhyolite)

本岩은 主로 赤 및 暗褐色의 變質度가 弱한 流紋岩石英安山岩, 安山岩, 集塊岩 및 凝灰岩으로 構成되어 있으며 杏仁狀構造(Amygdaloidal structure) 및 斑狀構造(Porphyritic structure)를 보여준다. 一般的으로 層理가 잘 發達되어 있으며 傾斜은 60°~80°이다.

#### 5) J.D層

Fig. 2 GEOLOGIC MAP OF SURVEYED AREA



本岩은 先캠브리아紀 最上部 岩石으로서 AL ULA 南東쪽 20km 區間에 發達 分布되어 있으며 主로 薄層의 白雲母質石灰岩과 碳岩 및 板岩으로 構成되어 있다.

本層中 碳岩은 細粒質 赤色花崗岩 및 流紋岩, 石英脈 粗粒質砂岩, 閃錫岩, 硅岩 및 千枚岩의 碳을 包含하고 있고 結合物質(Matrix)은 錄泥石이 優勢하니 計劃路線 區間中에도 一部 發達되어 있다.

#### 6) Sig 砂岩層(Sandstone)

本岩은 暗赤色砂岩으로 古生代 캠브리아紀에 屬하며 先캠브리아系를 不整合으로 被覆하고 있으며, 岩相은 層狀 또는 塊狀이다.

本岩은 局部的으로 先캠브리아 岩石의 碳을 갖는 碳石이 挾在되어 있고 大部分이 粗粒의 長石質砂岩로 構成되어 있어 그 透水性이 良好할 것으로 思料되며 他砂岩은 節理가 比較的 잘 發達되어 있으나 이들은 塊狀이다.

#### 7) 玄武岩(Basalt)

本岩은 第三紀 마이오世에 該當하는 玄武岩내지 玄武岩質安山岩으로 橄欖石이 優勢하고 大部分 柱狀節理가 잘 發達된 噴出岩이다. 本 調查區域內에서는 本岩은 先캠브리아系 上部를 不整合으로 被覆하여 分布되어 있으며 그 厚은 薄層으로 地下水 賦存地로서는 期待하기 어렵다.

특히 本岩은 先캠브리아紀 岩石을 被覆하여 臺地를 形成하고 있다.

#### 8) Wadi型 沖積層(Alluvium)

本層은 第四紀層으로서 先캠브리아 및 古生代의 岩石을 不整合으로 被覆하고 있으며 이들 岩石의 風化物로부터 生成된 gravel, silt, 砂 및 粘土의 混合物로 構成되어 있다. 特히 本層은 30~40km 區間에 樹枝狀으로 發達되어 있는 河系를 따라서 數km의 幅으로 넓게 分布되어 있다.

本層은 主로 細粒質의 砂 및 微細한 silt 및 粘土로 構成되어 있어 透水性은 良好하지 못할 것으로 思料되며 造岩礦物의 하나인 長石들이 風化에 依하여 많은 變質을 받아 粘土化하여 있어 이것이 表流水의 地下滲透作用을 막아 雨期의 地下水涵養을 저해하며 乾期에는 河川들은 고갈 狀態에 이른다.

### 5. 探查方法(Geophysical Exploration)

#### 1) 測量

車輛放射能 探查時는 1:500,000 地形圖 및 1:6000

圖面을 利用하였으며 精密 放射能 探查時는 車輛에 附着되어 있는 速度計를 利用하였다. 電氣探查時는 클리노메타 및 100m에스론 출자를 使用하여 測量하였다.

#### 2) 放射能 探查(Radioactivity Prospecting)

##### 2-1 原理

地球의 地殼內部에는 여러 種類의 放射性 物質이 存在하며 그중 라디움은 地殼內에서 強한 베타線을 地表에서도 檢出될 程度로 放出한다. 이以外에도 大部分의 放射性物質은 地殼內에서 發達된 地質構造에 따라 地表에 強하거나 弱하게 나타난다. 一般的으로 地下深部에 있던 여러 種類의 放射性物質은 斷層이나 破碎帶 및 節理와 같이 岩石의 조개진 틈을 따라서 地表로 上昇하여 異常放能帶(Anomaly Zone)를 이룬다. 이러한 地質構造는 異常放能帶를 이룸은 勿論 岩盤에서 地下水의 最適賦存地域인 地下帶水層을 이루고 있다. 強放射能이 나타나는 地域은 放射能物質을 包含하고 있는 岩石이거나 岩盤地下水의 賦存地로 解析할 수 있다. 水脈에서 나오는 地表에서 檢出되는 自然放射線強度는 微弱하여 大氣中에서의 宇宙線이 時間의으로 位置的으로 變動함으로 그 影響을 除去하지 않으면 올바른 水脈의 檢出이 되지 않는다.

##### 2-2 方法

總延長 164km에 達하는 計劃道路區間中 現在 工事中인 道路 및 既存道路를 따라서 車輛積載式 概略探查를 實施하였다. INVERTER, 自動記錄計 및 TR-18B2 自然放射能 探查器를 車內에 裝置하고 宇宙線 自動遮斷檢出器(Scintillation Counter)를 地表面上 35cm程度까지 自動車 後面의 製作된 받침대에다 附着시키고 車輛의 速度를 10~20km/hr로 走行하면서 地表面 및 地下水 構造帶에서 放出되는 自然放射能 速度를 測定記錄하였다. 測定時 探查器의 Range는  $3 \times 10^3$ C/M(Counter Per minute), 時定數는 1~5秒(Second), 記錄計의 感度(Sensitivity)는 500~100mV, 記錄紙의 回轉速度는 2cm/min로 하였고 精密探查時는 探查器의 Range는  $3 \times 10^3$ C/M, 時定數는 5秒, 記錄計의 感度는 50mV, 記錄紙의 回轉速度는 6cm/min로 하였다.

探查器의 狀態를 最適으로 維持하기 为해서 車內에 축축한 마대를 備置하여 溫度를 調節하였으나 外部溫度가 高溫이여서 測定結果에 약간의 誤差가 따를 것으로 생각된다.

各地域에서 放出되는 自然放射能의 平均強度를 1N(自然係數)으로 할 때의 放射能 異常帶(Anomaly)를 圖式化하여 水脈의 方向 및 그 幅을 推定하여 鑿井地

點을 選定하였다.

### 3) 電氣 比抵抗 探查(Electrical Resistivity Prospecting)

#### 3-1 原理

電氣探査는 地下地層들의 電氣的 性質의 差異를 應用하여 地下構造를 調査하는 方法이다. 特히 比抵抗探査는 地層의 電氣抵抗分布를 研究하여 土木地質 및 地下水調査를 為한 方法이다.

電流 I 가 地表面에 있는 두개의 電流電極俸 사이를 通過할때 等電位(Equipotential)와 電流分布는 Fig.3과 같이 表示될 수 있다.

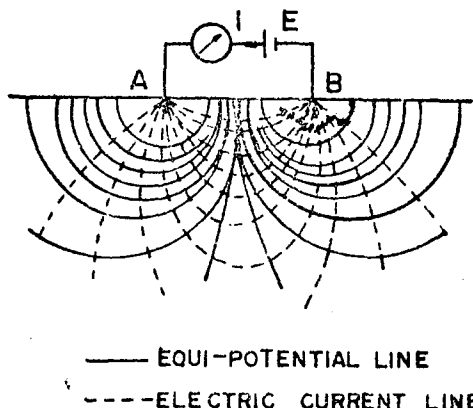


Fig. 3. 等電位線과 電流와의 關係

i) 境遇 電位差 E 와 電流 I 의 關係는 全抵抗(Total Resistivity)에 依해서 決定된다. 全抵抗은 主로 電極俸과 大地의 接觸抵抗과 大地抵抗自體로 形成된다. 電流는 深部에서 보다 淺部에서 더 細密하게 흐르며 電極間의 間隔이 크면 클수록 深部까지 韻影을 미친다.

길이  $\ell$  的 斷面積 S 를 通過하는 電流가 均一하다면 抵抗 R 은 다음 式과 같이 表示된다.

$$R = \rho \frac{\ell}{S}$$

上記式에서  $\rho$  는 地下物質의 性質과 關係되는 常數이며 比抵抗(Specific Resistivity)이라 불리우고 보통  $\Omega \cdot m$  로 表示한다. 岩石의 比抵抗을 左右하는 要素는 다음과 같다.

#### a) 流動液

常溫의 물로 滲透되어 있는 孔隙率이 一定한 砂層에 서는 比抵抗은 孔隙을 채우고 있는 液속의 NaCl의 量이 增加할때 거의 直線으로 減少된다. 아울러 물의 比抵抗은 溫度  $10^{\circ}\text{F}$  가 增加함에 따라 약 10%程度 減少

된다.

表 1 은 純粹한 물과 20% 孔隙率을 가진 砂層에 물이 包含되어 있을때의 比抵抗 變化를 나타낸 것이다.

表 1.

鹽度 (P.P.M.)	물의 比抵 $\Omega \cdot m$	20% 空隙率을 가진 砂層에 滲透된 물의 比抵抗 $\Omega \cdot m$
500	9.4	141
1000	4.8	71
2000	2.5	38
3000	1.7	26
4000	1.3	20
5000	1.0	16

#### b) 鎳 物

硫化鎳物, 酸化物 또는 黑鉛같은 鎳物은 低比抵抗을 나타낸다. 그러나 이와같은 鎳物은 本 調査地域에서는 드물게 나타나며 岩石의 電氣傳導度에 크게 影響을 미치는 鎳物은 粘土(Clay)이다. 乾燥한 粘土는 傳導性이不良하지만 濕한 粘土는 良好하다. 一般的으로 傳導性이 良好한 粘土가 많으면 많을수록 堆積物의 透水性과 帶水層으로 부터의 揚水量을 減少시키는 結果를 招來한다.

#### c) 幾何學的 要素

空隙의 크기 및 空隙과 空隙間의 間隔은 岩石의 比抵抗에 크게 影響을 미친다. 물을 含有하고 있는 砂層에서 空隙率이 크면 클수록 岩石의 比抵抗을 低下시키며 이러한 關係는 空隙率이 20%程度까지는 거의 直線狀態이다.

20% 를 넘어서는 比抵抗은 空隙이 增加함으로써 急速하게 減少한다. 모래는 10~40%의 空隙率을 보여주며 粘土는 透水性이不良하지만 空隙率은 50%程度를 나타낸다. 空隙의 形態 및 結合狀態도 岩石의 比抵抗에 影響을 미친다.

#### 3-2 方法

自然放射能 探査에 依해 選定된 地域에 對해서 電氣比抵抗 探査를 遂行하였다.

探査方法은 調査測線을 一直線으로 設定하고 그림과 같이 電位電極俸  $P_1P_2$  를 内部에 電流電極俸  $C_1C_2$  를 外部에 設置하고 Schlumberger 配列法에 依해서  $P_1P_2$  는 固定시키고  $C_1C_2$  를 地形條件에 따라 400~600m 까지 展開시키고 그 中心點에서 부터 最少 0.5m에서 부터 次次增加시켜 最大 50m 間隔으로 必要에 따라 深部垂直探査를 實施하였다.

野外에서 測定한 資料를 式  $\rho_a$  (外見比抵抗) =  $\frac{\pi}{a} \left[ \left( \frac{1}{2} \right)^2 - \left( \frac{a}{2} \right)^2 \right] V$  I에 依해서 外見比抵抗을 算出하였고

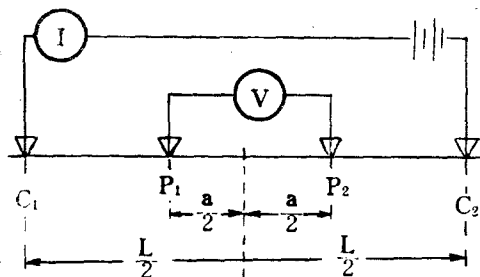


Fig. 4. Schlumberger Configuration

그 결과를兩對數方眼紙에 Plot하여 比抵抗曲線을作成한後標準曲線과對比하여各層의眞比抵抗值 및層厚를求하였고 그結果에依해서帶水層 및地下構造를推定하였다.

表2 및表3에岩石 및土壤,各種물의比抵抗值를各各表示하였다.

表 2.

	1	$10$	$10^2$	$10^3 10^4$	$10^5 \Omega \cdot m$
粘 土	—	—	—	—	—
泥灰岩	—	—	—	—	—
砂質粘土	—	—	—	—	—
粘土質砂	—	—	—	—	—
頁 岩	—	—	—	—	—
砂 및 碎	—	—	—	—	—
石灰岩	—	—	—	—	—
砂 岩	—	—	—	—	—
結晶質岩	—	—	—	—	—
岩 鹽	—	—	—	—	—

表 3. 各種물의比抵抗

山水	80~300 ( $\Omega \cdot m$ )
正常地下水	20~100
鹽度가 弱한 鹽水	10~20
鹽度가 보통인 鹽水	3~9
1000mg/l 이상의 Cl <sup>-</sup> 을 함유한 鹽水	0.1~3
純粹한 물을 含有한 모래	60~500

表 4. 自然放射能異常帶

番 號	位 置	異常帶 方向	強 度	幅	地 質
No. 1	12km	NS	1. 6N	10~12m	冲積層
No. 2	3+250~550	N15W, N30W	1.25N	20~35m	"
No. 3	18+200	N15W, N5E	1.36N	20~30m	"
No. 4	26	N 5W	1.33N	30m	"
No. 5	35+500	N80E, N40W	1.25N	20~50m	"
No. 6	45+250	N40W, N20W	1.25 "	20~30m	"

P<sub>1</sub>P<sub>2</sub>:Potential ElectrodesC<sub>1</sub>C<sub>2</sub>:Current Electrodes

약간의 鹽水量 含有한 모래..... 3~70

많은 鹽水量 含有하고 있는 모래 0.2~4

石油를 含有하고 있는 모래..... 1~250

純粹한 물을 含有한 砂岩..... 50~250

鹽水量 含有한 砂岩..... 1~200

石油를 含有한 砂岩..... 7~500

## 6. 結查結果 및 解析(Results & Interpretation)

### 6-1 自然放射能 探査

探査結果를 보면一般的으로堆積岩에서 유래된風化物로構成된冲積層에서는  $1\sim1.1\times10^3 \text{ C/M}$ 을 나타내고花崗岩 및 安山岩이分布되어 있는火成岩地帶에서는  $0.7\sim0.8\times10^3 \text{ C/M}$ 의自然放射能強度를 보여주고 있다. 이는火成岩이分布되어 있는地域보다는堆積岩이分布되어 있는地域의地下深部에 있는岩石이動力變成作用을 받아節理 및 層理에 따라破碎帶의發達이 더良好한 것으로思料된다. 特히今般探査에서는地形條件 및放射性礦物을包含하고 있는岩石分布地帶에서 높은自然放射能強度를 나타내고 있으나地下水開發을 위한本探査에서는 이의結果를論하지 않았다.

概査에 依해選定된精密探査地域과 이地域에서 實施된結果는表4와 같다.

No. 7	61	N7E	1.3N	25m	安	山	岩
No. 8	72	E W	1.38N	20m	安	山	岩
No. 9	84+500~85+000	N S	1. 2N	25~30m	安	山	岩
No. 10	96+230~470	NS, N8E	1. 2N	10~13m	安	山	岩
No. 11	101+550~670	N70E, N35E	1. 3N	10~13m	花	崗	岩
No. 12	105+210~690	N40E	1. 3N	20~24m	花	崗	岩
No. 13	143+400~800	N S	1.38N	12m	安	山	岩
No. 14	145~146+400	EW, N30W	1.35N	12~20m	安	山	岩
No. 15	149+750~150+300	N30E	1.37N	20m	安	山	岩
No. 16	155+750~156+100	N75W	1.37N	25m	安	山	岩

表5. 電氣探查地點

測點番號	位置	距離(基準點) 基準	方向(基準點) 基準	測線길이	測線方向
1-1	12km	300m	N25E	400m	N50W
1-2	12km	510	N34E	400	N50W
2-1	3+250~550	310	N10W	600	N50 E
3-1	18+200	570	N62E	400	N70W
3-2	18+200	440	N55E	600	N70W
4-1	26	650	N15E	400	N45W
5-1	35+500	560	N50E	600	N25W
5-2	35+500	430	N39E	400	N30W
-1	45+250	410	N65E	600	N45W
6-2	45+250	710	N32E	400	N35W
7-1	61	240	N49E	600	N40W
7-2	61	280	N80E	500	N40W
8-1	72	240	N65W	600	N70W
8-2	72	580	N78W	300	N80W
9-1	84+500~85+000			600	N 20 E
10-1	96+230~470	390	N11W	600	N20W
10-2	96+230~470	505	N20W	500	N20W
11-1	101+550~670	190	N29W	400	N29W
11-2	101+550~670	300	N35W	600	N 40 E
12-1	105+210~690	160	N45W	500	N 45 E
12-2	105+210~690	440	N14E	360	N 30 E
13-1	143+400~800	420	N80W	600	N70W
13-2	143+400~800	190	N15W	600	N70W
14	145~146+400	510	N48W	600	N44W
15-1	149+700~150+300	315	N10E	500	N 70 E
15-2	149+700~150+130	430	N 3W	500	N83W
16-1	155+750~156+100	325	N50W	600	N 50 E
16-2	155+750~156+100	130	N34E	600	N85W
17	79			600	E W
18	138+800			500	N28W

## 6-2 電氣比抵抗 探査

自然射放能 探査에 依頼 選定된 上記記述한 16個地  
域과 79km 및 138km+800 등 18個 地域에서 總30個의  
測點을 選定하여 電氣比抵抗垂直探査를 實施하였다.

調査地域에는 數個의 bedouin(遊牧民) 우물과 機械  
管井이 散在돼 있으며 調査結果을 對備하기 爲하여 A  
L ULA에 있는 우물附近에서도 調査를 實施하였다.  
調査地域이 廣大하여 便宜上 地質別로 區分하여 說

明하고자 한다. 本 調査地域의 地質은 沖積層, 花崗岩  
安山岩으로 大別된다.

### 1) 沖積層 地帶

本層은 主로 調査地域 西部인 AL ULA쪽에 分布되어 있으며 測點 No.1~No.5가 여기에 屬한다. K-5 캡프附近, 既存 우물近處에서 實施한 結果는 深部 6.3m에서 49m까지 12Ω-m의 比抵抗値을 갖는 帶水層을 나타내고 있으며 이와같이 낮은 比抵抗値는 鹽分 및 粘土를 含有하고 있을 것으로 思料된다. 本域에서의 曲線은 대개 4개의 地層을 말해주며 表土層은 No.3와 No.1-1 및 No.2-1을 除外하고는 40~150 Ω-m의 比抵抗을 보여주고 있다. No.3의 1000 Ω-m 이상의 高比抵抗은 乾燥한 砂質 및 磚을 含有하고 있을 것으로 思料되고 No.1-1과 No.2-1에서는 약 5Ω-m의 比抵抗을 나타내는 바 이는 鹽分을 含有한 濕度含有量의 增加 및 많은 量의 粘土를 含有하고 있기 때문인 것으로 解析된다.

本域에서의 帶水層은 No.3을 除外하고 第二層 및 第三層일 것으로 推定되어 10~40 Ω-m의 比抵抗을 보여준다. 比抵抗에서의 差異는 粘土含有量의 差異에 起因할 것으로 判斷된다.

本域에서의 地下水開發 適合場所에 對하여 記述하면 다음과 같다.

#### a) No.1-2

本測點에서의 地層은 深度 6m까지 粘土와 粘土質砂磚層의 互層으로 되어있고 6m以下是 9Ω-m의 比抵抗을 갖는 帶水層이 分布되어 있으며 이 比抵抗値는 이 帶水層이 鹽分을 약간 含有하고 있으며 比較的 많은 量의 粘土를 含有하고 있을 것으로 생각되고 地下深部 52m以下是 鹽分을 含有하고 있는 軟岩의 砂岩이 分布되어 있을 것으로 思料된다.

#### b) No. 2-1

本地點에서는 5Ω-m의 比抵抗을 갖는 層과 30Ω-m의 比抵抗을 갖는 層이 互層으로 分布되어 있다. 比較的 低比抵抗을 보여주고 있는 本域은 鹽度의 增加나 帶水層에서의 揭水量을 減少시킬지도 모르는 粘土의 含量增加에 起因할 것으로 思料된다.

#### c) No. 3-2

本域에서의 特徵은 2000Ω-m以上의 高比抵抗을 보여 주는 것이며 이는 磚을 含有하고 있는 모래層이 濕氣가 없음을 暗示하는 것이다 그 下部層은 150~300 Ω-m의 比抵抗을 나타내며 약간의 粘土를 含有하고 있는 砂層일 것으로 思料된다. 本域의 帶水層은 地下 42m以後에 發達되어 있을 것으로 推定되어 比抵抗은 50Ω-m로서 粘土를 含有하고 있는 砂岩이 分布되어 있

을 것으로 思料된다.

#### d) No. 5-1

表土層은 135Ω-m의 比抵抗을 보여주며 이는 角質磚을 含有하고 있는 모래層일 것으로 判斷된다. 그 下部層은 15~38Ω-m를 갖는 低比抵抗帶가 나타나며 이 層이 帶水層일 것으로 추측된다. 이 帶水層은 처음에는 比較的 粘土가 많이 含有되어 있으나 深部로 갈수록 粘土의 量이 減少되는 樣狀을 보이다가 70m以後에는 硬岩으로 推定되는 岩石이 分布되어 있을 것으로 思料된다.

### 2) 花崗岩 地帶

本岩이 分布되어 있는 地域에서 實施된 採査測點은 No.6, No.11, No.12이다. 本域에서의 曲線은 3~5個層으로構成되어 있으며 表層은一般的으로 높은 比抵抗値를 보이고 있다. 이는 乾燥한 모래 層이며 角磚을 含有하고 있을 것으로 解析된다. 表層아래는 30~80Ω-m의 比抵抗을 갖는 層이 分布하며 이는 약간의 濕氣를 含有하고 있으며 粘土質이 表層보다 더 많은 量이 含有되어 있을 것으로 思料된다. No.11에서는 帶水層의 發達은 不良하며 40m以後 岩盤이 分布되어 있을 것으로 生覺된다.

#### a) No. 6-2

本地點은 砂磚(78~95Ω-m)과 砂質粘土(23~32Ω-m)의 互層으로構成되어 있고 主帶水層은 38~56m에 分布하는 23Ω-m의 比抵抗을 나타내는 粘土를 含有한 모래層일 것으로 生覺된다.

深部 56m以下에서 나타나는 450Ω-m의 比抵抗을 갖는 層은 花崗岩으로構成되어 있을 것으로 추측된다.

#### b) No. 12-2

本地點에서의 表層은 比抵抗은 330Ω-m이며 이는 乾燥한 砂磚層이고 表層下部의 比抵抗은 37Ω-m를 나타내는 바 이 層은 沖積層 및 風化帶로서 主帶水層으로서의 役割을 할 것으로期待되나 花崗岩의 構成粒子인 長石成分이 風化變質作用을 받아 粘土化되어 이의 含量이 많을 것으로 思料된다. 地下深部 23m附近에서 1480Ω-m의 比抵抗을 갖는 層이 分布되어 있으며 이는 新鮮하고 比較的 단단한 花崗岩일 것으로 推定된다.

### 3) 安山岩 地帶

本岩은 本 調査地域에 가장 넓게 分布되어 있으며 主로 調査地域 東部를 極めて 幾何학적 모양으로 分布되어 있다. 測點 8, 9, 10, 13, 14, 15, 16, 17, 18이 여기에 該當된다.

i) 地域에서의 曲線은 3~6個의 地層으로構成되어 있다. 表層은 40~80 Ω-m의 層과 200Ω-m以上의 高

比抵抗을 갖는 層으로 大別되며 前者는 後者에 比해 比較的 濕氣가 있는 粘土質을 含有한 層으로 構成되어 있을 것으로 생각된다.

이 地域에서의 地下深部에 分布되어 있는 岩石은 大部分이  $1000\sim3,000\Omega\cdot m$ 의 比抵抗을 보여주고 있다.

a) No. 8-2

本地點은 砂質粘土로 構成되어 있는 層과 粘土質砂礫層의 互層으로 構成되어 있을 것으로 생각되고 主帶水層은 地下 19m 以後에 分布되어 있을 것으로 推定되어 아울러 粘土의 含有量이 많을 것으로 思料된다.

深度 51m 以後에는 風化를 많이 받은 安山岩으로 構

成되어 있을 것으로 判斷된다.

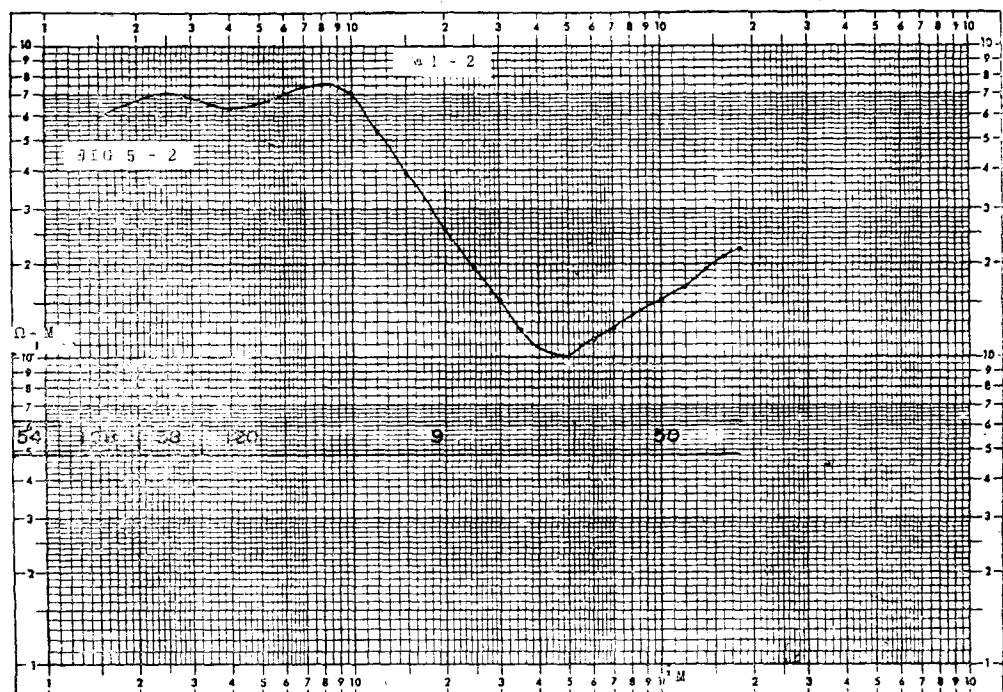
b) No. 15-1

本地點에서의 地下構造는 4個層으로 構成되어 있다. 表層은  $440\Omega\cdot m$ 의 比較的 높은 比抵抗을 나타내며 이는 安山岩의 風化殘有物인 角質礫 떼문인 것으로 생각된다. 表層아래는  $28\Omega\cdot m$ 의 比抵抗을 보여주는 層이 分布되어 있으며 이 層이 本域에서의 主帶水層일 것으로 推定되나 安山岩의 『造岩礦物』 風化變質되어 많은 量이 粘土化되어 있어 貯水量을 減少시킬 것으로 思料된다.

地下深部 25m 附近에서 薄層의 風化帶를 가진 安山

表 6. 地下水開發地點

	測點番號	位 置	鑿井度深	推定可採水量
1	No. 2-1	3+250~550	100m	$150m^3/$
2	No. 1-2	12(K-5)	100	200
3	No. 3-2	18+200	200	120
4	No. 5-1	35+500	120	100
5	No. 6-2	45+250	110	40
6	No. 8-2	72	120	50
7	No. 12-2	105+210~690	100	30
8	No. 18	138+800	80	30
9	No. 14	145~146×400	90	30
10	No. 15-1	149+750~150+300	80	20



岩이 分布되어 있을 것으로 추측된다.

### c) No.18

本地點에는 三換側에 依해서 만들어진 深度 20m程度의 우물이 있다. 이附近의 地層構造를 좀더 正確히 握할 수 있는 帶水層의 分布狀態를 究明코자 調査가 實施되었다.

表層은  $320\Omega\cdot m$ 의 比抵抗을 갖는 자갈로 構成되어 있고 그 下部層은  $17\Omega\cdot m$ 의 低比抵抗을 보여주며 粘土를 含有하고 있는 帶水層으로 地下 25m程度까지 分布되어 있을 것으로 思料된다. 第三層은  $76\Omega\cdot m$ 의 比抵抗을 나타내며 風化岩으로 推定되고 安山岩으로 判斷되는 基盤岩은 地下 32m 以後에 分布되어 있을 것으로 解析된다.

一般的으로 今般 調査地域에서의 帶水層의 發達은 AL-ULA쪽을 除外하고는 매우 不良한 便이며 帶水層은 鹽分을 包含하고 있고 粘土質을 많이 含有하고 있어 透水性이 不良하고 貯水量을 減少시키는 原因이 되고 있다.

諸資料를 綜合하여 檢討分析한 結果 地下水開發 適合地點을 表6로 作成하면 다음과 같다.

## 7. 井戸設計(Well Design)

井戸設計의 目的是 井戸를 設置할 때 使用할 材料를 選定, 井戸構造에 對한 適當한 最適解을 選定하는 데 있다. 即 井戸設計는 가장 良好하게 實施함으로서 井戸의壽命을 最長期間 延長할 수 있고 또한 가장 甲醛로 井戸를 設置할 수 있는 것이다.

井戸徑은 펌프를 充分히 設置할 수 있는 크기와 이를 效率的으로 作動시킬 수 있는 程度의 空間과 井戸內로 地下水가 流入되는 部分의 面積이 良好한 地下水理學의 效果를 갖도록 設計되어야 한다. 井戸의 推定深度는 試驗孔을 試掘하여 얻은 地下地質資料나 井戸設置豫定地點周圍의 同一帶水層에 既設置된 既存井戸의 資料를 利用하는 境遇가 많으나 최소한 帶水層에서 透水部分을 可能한 가장 많이 利用하여 地下水流部分을 增加시키고 水位降低를 많이 시킬수록 보다 多은 量의 地下水를 採水할 수 있도록 하여야 한다. 最適 스트레나(Strainer)의 길이는 帶水層의 層序, 두께 및 可能水位降低 사이의 關係에 따라決定지어진다. 스트레나의 開孔 크기는 帶水層構成物質의 粒徑에 따라서決定되고 스트레나의 길이는 帶水層의 두께에 따라決定된다. 모든 解剖이 算出된 後에는 井戸形成을 하여야 한다. 井戸形成은 自然井戸形成과 人工井戸形成으로 區分된다. 自然井戸形成은 스트레나周圍에 分布된 帶水層構成物質中 細粒質 物質을 井戸밖으로 추

출해내서 스트레나周圍에 粗粒質 物質만이 모이게 하여 원래 帶水層보다 透水性이 良好한 透水性帶를 形成시키는 方法이며 人工井戸形成은 井戸의 케이싱보다 크게 鑿井을 實施하여 스트레나를 鑿井孔에 삽입한 후 케이싱과 鑿井徑 사이의 空間에 미리 規格을 設定해둔 粗粒質碟을 人工的으로 設置하여 人工的인 透水帶를 附設하여 井戸를 形成시키는 方法으로 兩者 모두 井戸의 效率半徑을 增加시키는데 그 目的이 있다. 自然井戸形成時는 스트레나周圍에 分布된 細粒質의 60% 입경크기 틈으로 지하수가 유입될 수 있도록 스트레나의 開孔規格이 이와 최소한 同一한 것을 使用해야 한다. 人工井戸形成時에는 帶水性構成物質은 모두 周狀態대로 帶水層內에 유지시켜 두고 스트레나周圍에 透水帶를 形成시키는 方法으로서一般的으로 人工形成은 自然井戸形成보다 경비가 많이 들지만 매우 效率의 方法이다. 自然井戸形成은 帶水層自體가 스트레나에 대해 側面支持를 해주지 않으므로 井戸形成을 할 때 帶水層內에 包含된 느슨한 狀態의 모래들이 봉피되어 스트레나를 破損할 우려가 많지만 充填碟을 設置하는 境遇에는 이를 防止할 수 있다.

粒度가 서로 다른 여러 堆積層이 重複되어 發達되어 있는 冲積堆積物에 있어서는 각層마다의 位置를 正確하게 握하기가 困難할 뿐만 아니라 매층마다 그층에 맞는 스트레나를 設置한다는 것 自體도 실제 매우 困難하기 때문에 이 境遇에는 大部分의 境遇充填碟을 設置하여 人工井戸形成을 시킨다. 充填碟으로서 使用할 材料의 性質은一般的으로 깨끗하고 원형이어야 하며 黑岩(Shale)과 같이 強度가 弱한 物質로構成된 것을 피하고 주로 硅質碟으로 이루어진 것을 使用해야 한다.

부득이한 境遇에 5%까지는 石灰質碟을 使用해도 무방하나 井戸를 改善하기 위해 酸處理를 實施하는 境遇에 多量의 石灰質을 包含한 碟을 많이 使用했을 때는 상당량의 充填碟이 鎔解 됨으로 井戸崩壊, 砂吐出 및 破損의 우려가 있다.

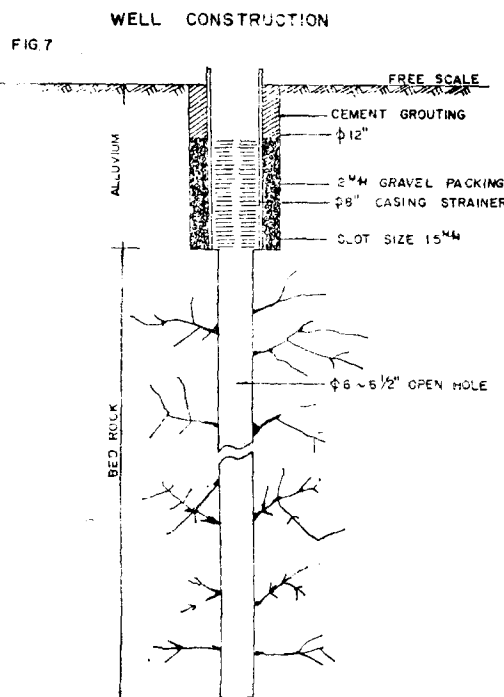
上記 記述한 基準設計에 따라 本地域에서의 細部井戸設計는 다음과 같다.

冲積層 및 非固結岩部는 表土에서 岩盤까지 徑  $\phi 12''$ 로掘鑿하여 徑  $\phi 8''$ 의 스트레나와 케이싱을 設置하고 그 下部 岩盤區間은 裸孔 狀態로 徑  $\phi 6'' \sim 6 1/2''$ 로 規定深度까지掘鑿하는 것으로 한다.

但 非固結岩部에서 케이싱과 스트레나의 길이는 포화대의 두께에 따라 다르나一般的으로 포화대 두께의 70%程度는 스트레나를 設置하고 그 外間은 無孔管(Blind Casing)을 設置하는 것으로 한다. 非固結岩部의 徑  $\phi 2''$ 區間과 徑  $\phi 8''$ 의 케이싱 사이로 粒徑  $2m/m$

이상의 충填礫을設置하고 스트레나의 스트트(開孔),規格은  $1.5m/m$ 를 使用한다.

岩盤區間은 特異한 地質構造帶(붕괴의 위험성이 있는 지역)를 除外하고는 裸孔狀態로 設置해도 無關한 것으로 보았다.



### 8. 結 言(Conclusions & Recommendations)

1. 本調査地域에 分布되어 있는 岩石은 先캠브리아紀에 屬하는 Greenstone, 花崗岩, 安山岩, 閃錫岩, 流紋岩 및 古生代 캠브리아紀의 砂岩과 이들을 不整合으로 被覆하고 있는 新生代 第三紀의 玄武岩 및 安山岩과 第四紀의 沖積層이 被覆되어 發達되어 있다. (圖面3 參照)

2. 本地域의 地形은  $164km$ 에 걸쳐 高度差가  $400$ 餘  $m$ 以上에 達하는 起伏이 심한 地域으로서 幼年期乃至壯年期初의 地形이다.

3.  $164km$  全區間에 걸쳐 實施한 自然放射能 探查結果 16個 地域에서 异常帶(Anomaly)가 發見되었으며 地表面 및 地下構造帶에서 放出되는 自然放射能 強度를 各 地域에서의 平均強度를  $1N$ 이라고 볼 때 최소  $1.2N$ 에서 최대  $1.6N$ 을 보여주며 异常帶의 幅은  $10m$ 에서  $50m$ 에 이른다. (圖面4 參照)

4. 自然放射能 异常帶 16개 地域을 包含하여 總30個 測點에서  $400\sim600m$ 의 測線을 設定하여 電氣比抵抗探查를 實施한 結果 總10個 地點을 地下水開發 可能 地

點으로 選定하였다. (表 6 參照)

5. 本調査地域에서의 帶水層의 發達狀態는 一般的으로 調査地域東側보다는 西側에 位置해 있는 ALULA附近이 그리고 火成岩보다는 堆積岩의 分布地帶가 더 良好하다.

6. 帶水層으로 思料되는 層은  $10\sim50$   $Q\cdot m$ 의 比抵抗을 나타내고 있으며 이 比抵抗值는 帶水層에 粘土 및 鹽分이 含有되어 있을 것임을 暗示하고 粘土는 帶水層에서의 揚水量을 減少시키는 結果를 招來할 것이다.

7. 帶水層에 包含되어 있는 小量의 鹽分變化는 比抵抗探査로서는 定量的으로 分析이 不可能하였다.

8. 選定된 地點에서의 鑿井深度는  $80m$ 에서  $200m$ 程度이고 地下水 開發量에 따라 大きな 差異가 있으며 최소  $1$ 日  $20m^3$ 程度될 것으로 思料된다.

9. 그러나 前述한 地點에서의 地下水開發에 앞서 보다 正確하고 經濟的인 井戶設置를 위해 孔徑  $\phi 4''$ 의 試驗孔(Test Boring)을 設置하여 透水係數 및 帶水層의 水理地質性格 등 現場條件를 把握해야 함이 先行되어야 한다.

10. 그리고 開發量은 井戶의 設計와 鑿井工法에 따라 심한 差異를 보여줌으로 最新鑿井工法를 利用하여 最多의 地下水量을 確保해야 할 것이다.

### 9. 參考文獻(References)

1. U.S. Geological survey: Geologic Map of the Northeastern and Northwestern HIJAZ Quadrangle, Kingdom of Saudi Arabia.
2. A. Bentz: Lehrbuch der Angewandten Geologie
3. PARASNIS: Mining Geophysics.
4. U.S. Department of the Interior: Interpretation of Resistivity Data.
5. Universal oil Products Co.: Ground water and Wells
6. H.E. Legrand: Ground water of the Piedmont and Blue Ridge Provinces in the Southeastern States.
7. Tsuneo IMAI: An introduction to the geophysical prospecting
8. DARAL-HANDASA: AL ULA-KHAYBAR ROAD
9. JOONG ANG DEVELOPMENT CO: Report on Groundwater Prospecting of FAIR CHILD Co. in Seoul, Korea
10. R.B. EVANS: The application of Geophysics to water resources survey in the Trucial States of Eastern Arabia.